

Elektromagnetické vlastnosti měsíců a planet

prezentace v Mariánské

Daniel Procházka

Školitel: Dr. Pavel Trávníček

22. ledna 2020

Zadání bakalářské práce

Úkoly ze zadání:

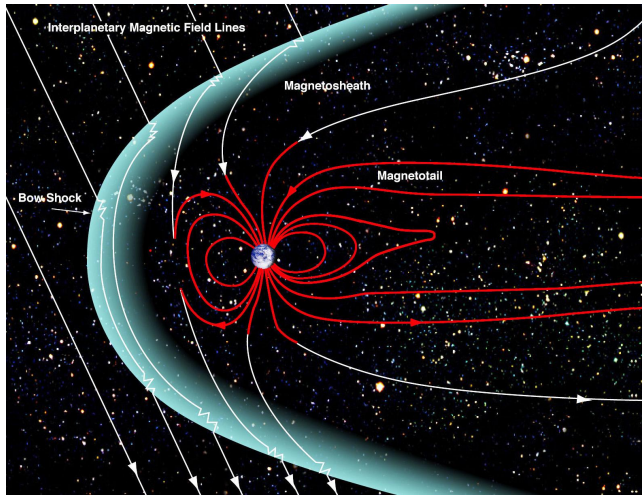
- ① provedte rešerši na dané téma,
- ② nastudujte jednotky použité v simulaci,
- ③ na základě literatury vytvořte model Měsíce,
- ④ porovnejte výsledky simulace s modelem a bez něj.

Interakce Slunečního větru s tělesy

čtyři základní typy:

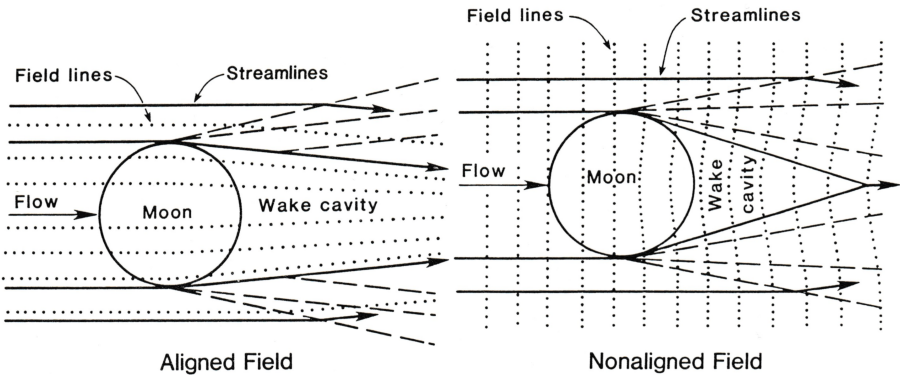
- ① Země, Jupiter, ...
- ② Měsíc
- ③ Venuše, Mars
- ④ komety

Interakce Slunečního větru se Zemí



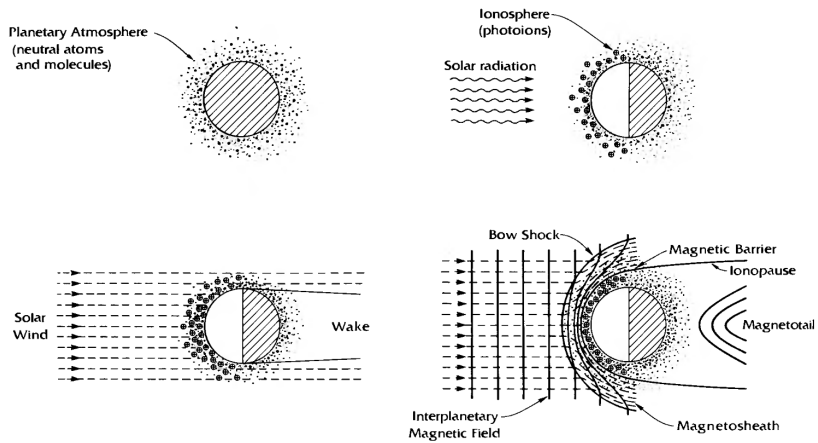
Magnetosféra Země, Credit: NASA/Goddard/Aaron Kaase

Interakce Slunečního větru s Měsícem



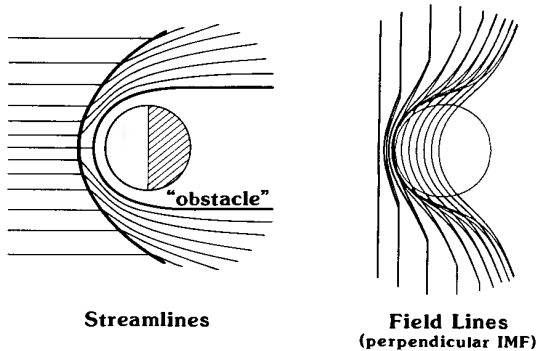
Interakce Měsíce se SV [3]

Interakce Slunečního větru s Venuší



Vznik *bow shocku* u těles s ionosférou [3]

Interakce Slunečního větru s Venuší



Streamlines

Field Lines
(perpendicular IMF)

Magnetic draping [3]

Elektromagnetické vlastnosti Měsíce

		$R_M = 1737 \text{ km}$
jádro $\approx 300 \text{ km}$	plášť $\approx 1380 \text{ km}$ ortopyroxen, olivín	kůra $\approx 60 \text{ km}$ anortozitické horniny, hořčíkaté horniny, bazalty, pyroklastika velká rezistivita, magnetické anomálie
kovové		
vodivé		

Magnetické pole v Měsíci

difúze magnetického pole

$$\frac{\partial \mathbf{B}}{\partial t} = \frac{1}{\sigma\mu} \nabla^2 \mathbf{B} \quad (1)$$

jenže ...

$\sigma = \sigma(\mathbf{x})$, tedy:

- ① rovnice $\partial_t \mathbf{B} = -\nabla \times \left(\frac{1}{\sigma} \nabla \times \left(\frac{\mathbf{B}}{\mu} \right) \right)$
- ② difúzní rovnice na kulových slupkách s propojovacími podmínkami

Ideálně vodivé jádro

v případě ideálně vodivého jádra

$$\mathbf{p}_M(t) = -\frac{2\pi}{\mu_0} \mathbf{B}_0(t) r_0^3,$$

$$\mathbf{B}_{\text{ind}}(\vec{r}, t) = \frac{\mu_0}{4\pi} \left(\frac{3\mathbf{p}_M(t) \cdot \mathbf{r}}{r^5} \mathbf{r} - \frac{1}{r^3} \mathbf{p}_M(t) \right).$$

Hybridní model I

Co znamená „hybridní model“?

- elektrony – tekutina
- ionty – makročástice ($\approx 10^{18}$ častic)

1. momentová rovnice pro elektronovou tekutinu

$$m_e n_e \left(\frac{\partial}{\partial t} + \mathbf{u}_e \cdot \nabla \right) \mathbf{u}_e = \rho_e \mathbf{E} + \mathbf{j}_e \times \mathbf{B} - \nabla \cdot \mathbf{P}_e \quad (2)$$

→ rovnice pro pole

Hybridní model II

Využijeme:

- Ampérův zákon (limita $\omega \rightarrow 0$): $\mathbf{j} = \nabla \times \mathbf{B}/\mu_0$
- proud: $\mathbf{j} = \mathbf{j}_i + \mathbf{j}_e$
- kvazineutralita: $\rho_i + \rho_e = 0$
- nehmotné elektrony: $m_e \approx 0$

Rovnice pro elektrické pole:

$$\mathbf{E} = \frac{1}{\rho_i} \left(-\mathbf{j}_i \times \mathbf{B} + \frac{1}{\mu_0} (\nabla \times \mathbf{B}) \times \mathbf{B} - \nabla \cdot \mathbf{P}_e \right) + \frac{\eta}{\mu_0} \nabla \times \mathbf{B}. \quad (3)$$

Hybridní model III

$$\mathbf{E} = \frac{1}{\rho_i} \left(-\mathbf{j}_i \times \mathbf{B} + \frac{1}{\mu_0} (\nabla \times \mathbf{B}) \times \mathbf{B} - \nabla \cdot \mathbf{P}_e \right) + \frac{\eta}{\mu_0} \nabla \times \mathbf{B}$$

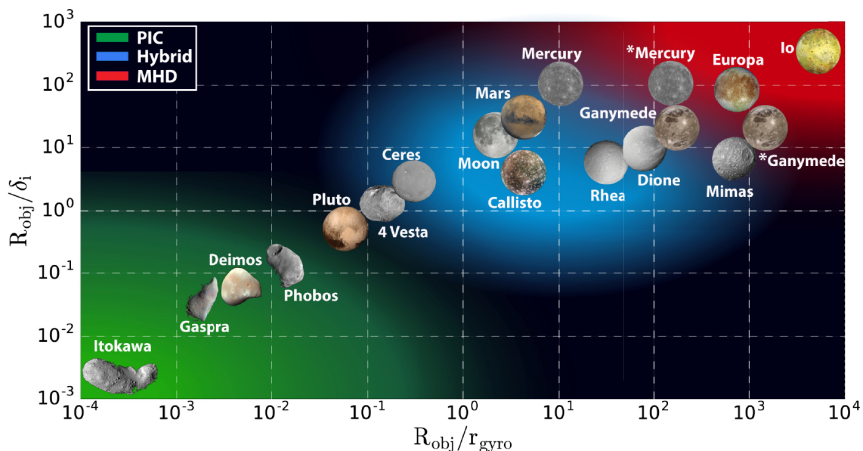
Odtud časové posuny $\mathbf{x}, \mathbf{v}, \mathbf{B}$:

$$\frac{d\mathbf{v}}{dt} = \frac{q}{m} (\mathbf{E} + \mathbf{v} \times \mathbf{B}),$$

$$\frac{d\mathbf{x}}{dt} = \mathbf{v},$$

$$\nabla \times \mathbf{E} = -\frac{\partial \mathbf{B}}{\partial t}.$$

Kdy použít hybridní model?



Graf velikosti těles a platnost modelů [2]

Simulační jednotky

Jednotky

délka

$$\Lambda = \frac{c}{\omega_{pi}}$$

čas

$$\Omega_i^{-1} = \frac{m_i}{eB_{sv}}$$

hustota

$$n_{sv}$$

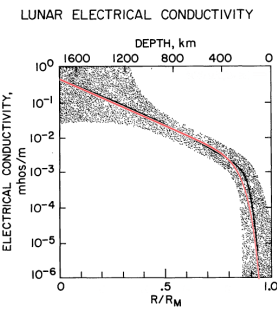
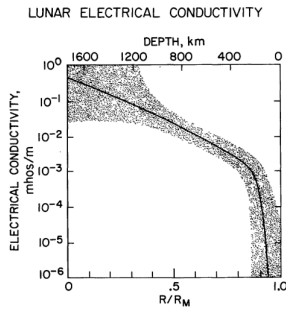
magnetické pole

$$B_{sv}$$

Důvody pro použití

- čas – praktické důvody: $\Delta t = 0,01\Omega^{-1}$
- délka $x/\Lambda \implies v_A = 1\Lambda \cdot \Omega_i$

Rezistivita Měsíce I



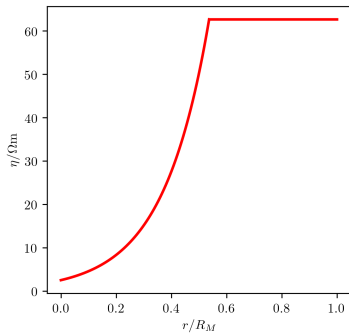
Vodivostní profil Měsíce [1]. (Pozn.: mhos/m = S m⁻¹)

Převod rezistivity

$$\eta(r) = \frac{n_{sv} q}{B_{sv}} 10^{0.4 + 2.6 \frac{A}{R_M} \frac{r}{\Lambda} + 9 \exp(20(\frac{A}{R_M} \frac{r}{\Lambda} - 1))} \mu_0 v_A^2 / \Omega_i$$

Rezistivita Měsíce II

problémy se stabilitou \implies nutno omezit: $\eta < 0,01\mu_0 v_A^2 / \Omega_i$



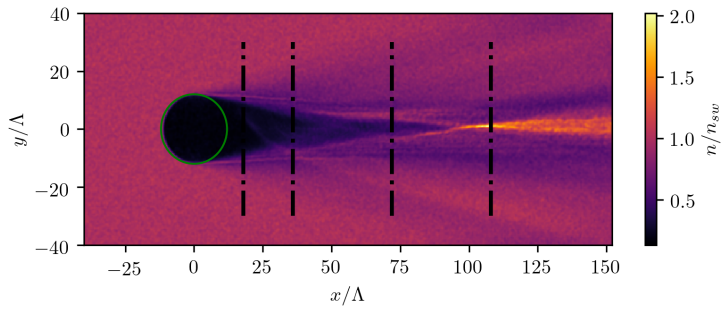
Model profilu rezistivity Měsíce vytvořený podle [1]

Parametry simulace

Parametr	Hodnota
Velikost magnetické indukce SV ¹	10 nT
Orientace magnetické indukce SV	$(\sqrt{2}/2, -\sqrt{2}/2, 0)^T$
Rychlosť SV	5 v_A
Hustota plazmatu ve SV	10 cm^{-3}
Velikost buňky	$0,4\Lambda \times 0,4\Lambda \times 0,4\Lambda$
Počet makročástic na buňku	35

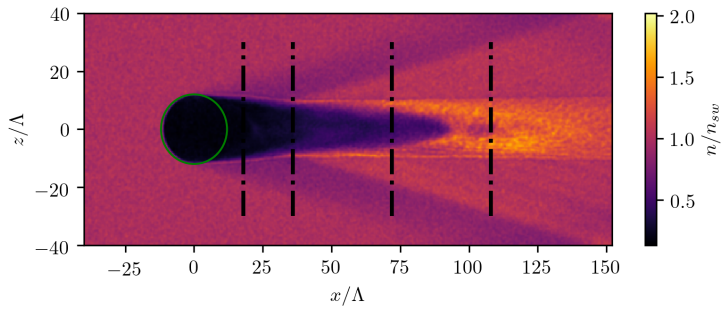
¹SV = sluneční vítr

Hustota protonů I



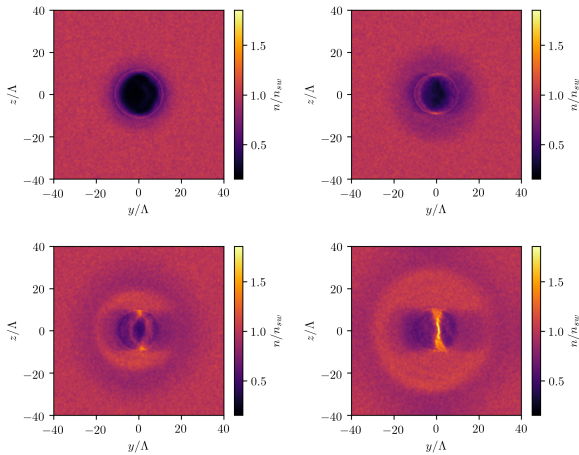
Hustota protonů: řez xy

Hustota protonů II



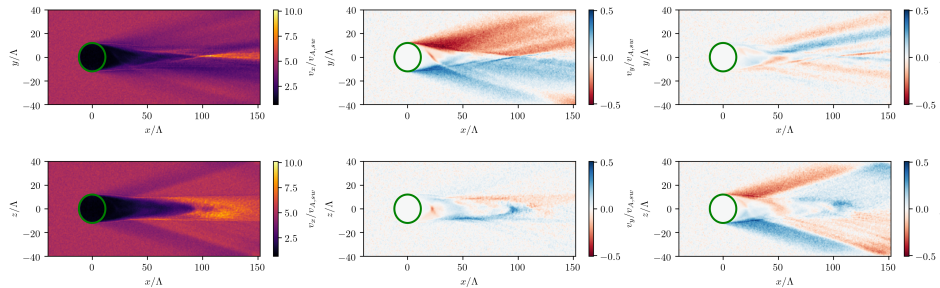
Hustota protonů: řez xz

Hustota protonů III



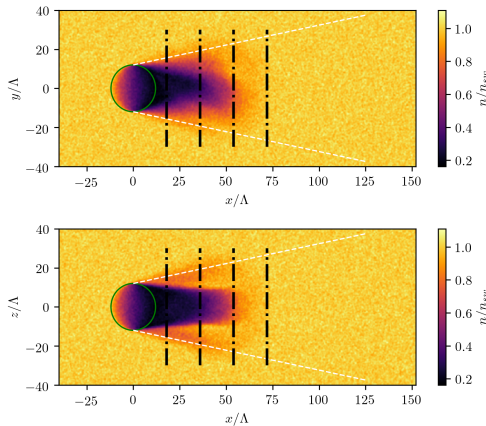
Hustota protonů: řezy yz pro $x = 1,5R_L$; $x = 3R_L$; $x = 6R_L$; $x = 9R_L$

Průměrná rychlosť protonů



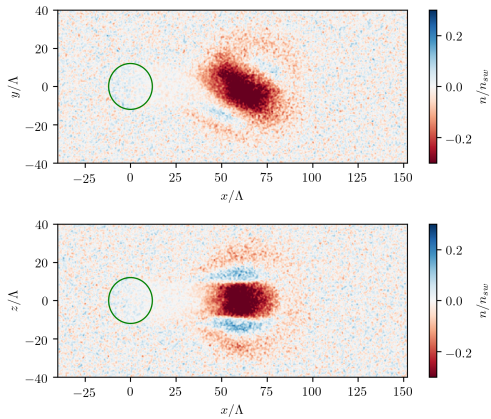
Rychlosť protonů: řezy v rovinách xy , xz

Hustota protonů s modelem



Hustota protonů v simulaci s geologickým modelem ($t = 10\Omega^{-1}$)

Rozdíl



Rozdíl hustot protonů v simulacích s geologickým modelem a bez něj (pro různé časy)

Závěr

Co dále?

- ① vyřešit problém z BP
 - zvýšit η_{\max} ,
 - nebo změnit ošetření vnitřku?
- ② magnetické anomálie v kůře
- ③ rozšířit na Europu, Ganymed, Merkur
 - pod povrchový oceán
 - planetární dynamo

Zdroje



P. Dyal, C. W. Parkin, and W. D. Daily.

Structure of the lunar interior from magnetic field measurements.

Lunar Science Conference, 7th, Houston, Tex., 3:3077–3095, 1976.



Shahab Fatemi, Andrew R. Poppe, Gregory T. Delory, and William M. Farrell.

AMITIS: A 3D GPU-Based Hybrid-PIC Model for Space and Plasma Physics.

Journal of Physics: Conference Series, 837(1), 2017.



Margaret G. Kivelson and Christopher T. Russell.

Introduction to Space Physics.

Cambridge University Press, 1995.